

# Тензорный анализ сингулярного спектра

Хромов Никита Андреевич, гр.20.Б04-мм

Санкт-Петербургский государственный университет  
Прикладная математика и информатика  
Вычислительная стохастика и статистические модели

Производственная практика (преддипломная практика)  
(8 семестр)

Санкт-Петербург, 2023

Tensor SSA

Тензорный анализ сингулярного спектра

Хромов Никита Андреевич, гр.20.Б04-мм

Санкт-Петербургский государственный университет  
Прикладная математика и информатика  
Вычислительная стохастика и статистические модели

Производственная практика (преддипломная практика)  
(8 семестр)

Санкт-Петербург, 2023

Научный руководитель д.ф.-м.н., доцент Голяндина Н.Э.,  
кафедра статистического моделирования

# Постановка задачи

$X = (x_1, x_2, \dots, x_N)$ ,  $x_i \in \mathbb{R}$  — вещественный временной ряд

$$X = T + P + R$$

$T$  — тренд,  $P$  — сезонность,  $R$  — шум

## Возможные задачи:

- ① Выделение сигнала из ряда: нахождение  $S = T + P$
- ② Разделение компонент сигнала: нахождение  $T$  и  $P$

Возможный метод решения: Singular Spectrum Analysis ([SSA](#)) (Golyandina, Nekrutkin et al. (2001), Analysis of time series structure: SSA and related techniques)

**Цель:** исследование свойств тензорных модификаций методов семейства SSA с точки зрения точности выделения сигнала и разделения компонент.

Tensor SSA  
└ Введение

└ Постановка задачи

### Постановка задачи

$X = (x_1, x_2, \dots, x_N)$ ,  $x_i \in \mathbb{R}$  — вещественный временной ряд  
 $X = T + P + R$   
 $T$  — тренд,  $P$  — сезонность,  $R$  — шум

#### Возможные задачи:

- ① Выделение сигнала из ряда: нахождение  $S = T + P$
- ② Разделение компонент сигнала: нахождение  $T$  и  $P$

Возможный метод решения: Singular Spectrum Analysis ([SSA](#)) (Golyandina, Nekrutkin et al. (2001), Analysis of time series structure: SSA and related techniques)

**Цель:** исследование свойств тензорных модификаций методов семейства SSA с точки зрения точности выделения сигнала и разделения компонент.

Временным рядом длины  $N$  называется последовательность  $N$  чисел. В общем случае, временной ряд является суммой трёх компонент: тренда  $T$ , сезонности  $P$  и шума  $R$ .

Можно рассматривать следующие задачи анализа временного ряда: Выделение сигнала  $T + P$  из ряда, Отделение компонент сигнала  $T$  и  $P$ .

Одним из распространённых методов решения этих задач является алгоритм SSA, описанный в работе [1].

Цель этой работы - исследование свойств тензорных модификация методов семейства SSA с точки зрения точности выделения сигнала и отделения компонент сигнала.

## Имеющиеся результаты

Работы, в которых предлагается использовать тензорные разложения в задачах выделения сигнала из ряда:

- ❶ Papy, De Lathauwer et al. (2005), Exponential data fitting using multilinear algebra: the single-channel and multi-channel case
- ❷ Kouchaki, Sanei (2013), Tensor based singular spectrum analysis for nonstationary source separation
- ❸ Yang et al. (2017), Improved tensor-based Singular Spectrum Analysis based on single channel blind source separation algorithm and its application to fault diagnosis

В работе 1 рассматривается задача оценки параметров одномерных и многомерных сигналов особого вида с использованием тензорного разложения HOSVD.

В работах 2 и 3 — задача выделения сигнала из временного ряда с использованием тензорного разложения CPD.

### Tensor SSA

#### └ Введение

#### └ Имеющиеся результаты

#### Имеющиеся результаты

Работы, в которых предлагается использовать тензорные разложения в задачах выделения сигнала из ряда:

- ❶ Papy, De Lathauwer et al. (2005), Exponential data fitting using multilinear algebra: the single-channel and multi-channel case
- ❷ Kouchaki, Sanei (2013), Tensor based singular spectrum analysis for nonstationary source separation
- ❸ Yang et al. (2017), Improved tensor-based Singular Spectrum Analysis based on single channel blind source separation algorithm and its application to fault diagnosis

В работе 1 рассматривается задача оценки параметров одномерных и многомерных сигналов особого вида с использованием тензорного разложения HOSVD.  
В работах 2 и 3 — задача выделения сигнала из временного ряда с использованием тензорного разложения CPD.

На слайде представлены работы, в которых уже предлагалось использовать тензоры и тензорные разложения в задачах анализа временных рядов.

В первой работе [2] рассматривалась модель, в которой сигнал составляла сумма комплексных экспонент и нужно было оценить показатели их степеней. Для решения применялось тензорное разложение HOSVD, которое наследует большинство свойств матричного сингулярного разложения.

Во второй и третьей работах рассматривалась задача выделения сигнала из зашумлённого ряда с применением тензорного разложения CPD. Подробнее про разложения далее.

Пока был исследован только вариант перехода к тензорам, предложенный в первой работе.

## ESPRIT

$\mathbf{X} = (x_1, x_2, \dots, x_N) = \mathbf{S} + \mathbf{R}$ ,  $L$  – длина окна,  
 $K = N - L + 1 \geq L$ .

**Модель:**  $s_n = \sum_{j=1}^r a_j \exp\{i\varphi_j\} \exp\{(-\alpha_j + 2\pi i\omega_j)n\}$

**Параметры алгоритма:**  $L, R$ :  $R \leq L < N$

$R$  — число компонент, относимых к сигналу

**Схема алгоритма ESPRIT для оценки  $\alpha_j, \omega_j$**

- ❶ **Вложение**  $\mathbf{X} \mapsto \mathbf{X} = [\mathbf{X}_1 : \mathbf{X}_2 : \dots : \mathbf{X}_K] \in \mathbb{R}^{L \times K}$ ,  
 $\mathbf{X}_i = (x_i, x_{i+1}, \dots, x_{i+L-1})^T$
- ❷ **Разложение**  $\mathbf{X} = \sum_{j=1}^d \sqrt{\lambda_j} \mathbf{U}_j \mathbf{V}_j^T$ ,  $d \leq L$
- ❸ **Группировка**  $\hat{\mathbf{U}} = [\mathbf{U}_1 : \mathbf{U}_2 : \dots : \mathbf{U}_R]$ ,  $R \leq d$
- ❹ **Восстановление**  $\mathbf{Z} : \hat{\mathbf{U}}^\uparrow = \hat{\mathbf{U}}_\downarrow \mathbf{Z}$ ,  
 $\{z_1, z_2, \dots, z_R\}$  — собственные числа  $\mathbf{Z}$

**Результат алгоритма**  $z_j$  — оценка  $\exp\{-\alpha_j + 2\pi i\omega_j\}$

## Tensor SSA

└ Тензорные модификации алгоритмов

└ ESPRIT

## ESPRIT

$\mathbf{X} = (x_1, x_2, \dots, x_N) = \mathbf{S} + \mathbf{R}$ ,  $L$  – длина окна,  
 $K = N - L + 1 \geq L$ .  
**Модель:**  $s_n = \sum_{j=1}^r a_j \exp\{i\varphi_j\} \exp\{(-\alpha_j + 2\pi i\omega_j)n\}$   
**Параметры алгоритма:**  $L, R$ :  $R \leq L < N$   
 $R$  – число компонент, относимых к сигналу  
**Схема алгоритма ESPRIT для оценки  $\alpha_j, \omega_j$**   
 ❶ **Вложение**  $\mathbf{X} \mapsto \mathbf{X} = [\mathbf{X}_1 : \mathbf{X}_2 : \dots : \mathbf{X}_K] \in \mathbb{R}^{L \times K}$ ,  
 $\mathbf{X}_i = (x_i, x_{i+1}, \dots, x_{i+L-1})^T$   
 ❷ **Разложение**  $\mathbf{X} = \sum_{j=1}^d \sqrt{\lambda_j} \mathbf{U}_j \mathbf{V}_j^T$ ,  $d \leq L$   
 ❸ **Группировка**  $\hat{\mathbf{U}} = [\mathbf{U}_1 : \mathbf{U}_2 : \dots : \mathbf{U}_R]$ ,  $R \leq d$   
 ❹ **Восстановление**  $\mathbf{Z} : \hat{\mathbf{U}}^\uparrow = \hat{\mathbf{U}}_\downarrow \mathbf{Z}$ ,  
 $\{z_1, z_2, \dots, z_R\}$  – собственные числа  $\mathbf{Z}$   
**Результат алгоритма**  $z_j$  – оценка  $\exp\{-\alpha_j + 2\pi i\omega_j\}$

В работе [2] предлагалась модификация алгоритма ESPRIT для оценки параметров сигнала, равного сумме экспоненциально-модулированных комплексных гармоник.

Пусть дан временной ряд  $\mathbf{X}$  длины  $N$ , и он является суммой некоторого сигнала  $\mathbf{S}$  и шума  $\mathbf{R}$ . Выберем число  $L$  – длина окна, и пусть она такова, что  $K = N - L + 1 \geq L$ . Кроме того нужно выбрать параметр  $R$ , имеющий смысл числа компонент, которые мы относим к сигналу.

Алгоритм состоит из следующих четырёх этапов:

**Вложение** – по ряду  $\mathbf{X}$  строится матрица  $\mathbf{X}$ ,  $i$ -й столбец которой представляет собой набор элементов ряда с  $i$ -го по  $i + L - 1$ -й  
**Разложение** – матрица  $\mathbf{X}$  представляется в виде своего сингулярного разложения в сумму  $d$  одноранговых матриц  
**Группировка** – по первым  $R$  левым сингулярным векторам строится матрица  $\mathbf{U}$  с крышкой  
**Восстановление** – получившаяся на 3 шаге матрица  $\mathbf{U}$  используется для решения уравнения, относительно  $\mathbf{Z}$  (стрелка вверх означает удаление первой строки матрицы, стрелка вниз – последней). После этого находятся собственные числа полученной матрицы  $\mathbf{Z}$ , которые и считаются оценками экспонент, из которых можно получить оценки параметров.

## SSA для выделения сигнала

$X = (x_1, x_2, \dots, x_N) = S + R$ ,  $L$  — длина окна,  
 $K = N - L + 1 \geq L$ .

Параметры алгоритма:  $L, R$ :  $R \leq L < N$

$R$  — число компонент, относимых к сигналу

## Схема алгоритма SSA для выделения сигнала

- ❶ Вложение  $X \mapsto \mathbf{X} = [X_1 : X_2 : \dots : X_K] \in \mathbb{R}^{L \times K}$ ,  
 $X_i = (x_i, x_{i+1}, \dots, x_{i+L-1})^T$
- ❷ Разложение  $\mathbf{X} = \sum_{j=1}^d \sqrt{\lambda_j} U_j V_j^T$ ,  $d \leq L$
- ❸ Группировка  $\tilde{\mathbf{S}} = \sum_{j=1}^R \sqrt{\lambda_j} U_j V_j^T$ ,  $R \leq d$
- ❹ Восстановление Матрица  $\tilde{\mathbf{S}}$  усредняется вдоль побочных диагоналей:  $\tilde{s}_k = \text{mean} \left\{ \left( \tilde{\mathbf{S}}_{ij} \right) \middle| i + j - 1 = k \right\}$

Результат алгоритма  $\tilde{\mathbf{S}} = (\tilde{s}_1, \tilde{s}_2, \dots, \tilde{s}_N)$  — оценка сигнала  $S$

## Tensor SSA

└ Тензорные модификации алгоритмов

└ SSA для выделения сигнала

## SSA для выделения сигнала

$X = (x_1, x_2, \dots, x_N) = S + R$ ,  $L$  — длина окна,  
 $K = N - L + 1 \geq L$ .

Параметры алгоритма:  $L, R$ :  $R \leq L < N$

$R$  — число компонент, относимых к сигналу

## Схема алгоритма SSA для выделения сигнала

- ❶ Вложение  $X \mapsto \mathbf{X} = [X_1 : X_2 : \dots : X_K] \in \mathbb{R}^{L \times K}$ ,  
 $X_i = (x_i, x_{i+1}, \dots, x_{i+L-1})^T$
- ❷ Разложение  $\mathbf{X} = \sum_{j=1}^d \sqrt{\lambda_j} U_j V_j^T$ ,  $d \leq L$
- ❸ Группировка  $\tilde{\mathbf{S}} = \sum_{j=1}^R \sqrt{\lambda_j} U_j V_j^T$ ,  $R \leq d$
- ❹ Восстановление Матрица  $\tilde{\mathbf{S}}$  усредняется вдоль побочных диагоналей:  $\tilde{s}_k = \text{mean} \left\{ \left( \tilde{\mathbf{S}}_{ij} \right) \middle| i + j - 1 = k \right\}$

Результат алгоритма  $\tilde{\mathbf{S}} = (\tilde{s}_1, \tilde{s}_2, \dots, \tilde{s}_N)$  — оценка сигнала  $S$

Теперь приведём алгоритм SSA для выделения сигнала.

Пусть дан временной ряд  $X$  длины  $N$ , и он является суммой некоторого (в этот раз непараметрического) сигнала  $S$  и шума  $R$ . Параметры алгоритма и первые два его шага совпадают с алгоритмом ESPRIT.

Группировка — по первым  $R$  слагаемым из сингулярного разложения строится новая матрица  $\tilde{\mathbf{S}}$ . Восстановление — получившаяся на 3 шаге матрица  $\tilde{\mathbf{S}}$  усредняется вдоль побочных диагоналей, результаты усреднения считаются результатом алгоритма.

# Тензорный переход

Идея, предложенная в работе Pary et al. (2005)

Базовый алгоритм: ряд  $X \Rightarrow$  матрица  $\mathbf{X} \Rightarrow$  SVD  $\mathbf{X}$

Тензорный алгоритм: ряд  $X \Rightarrow$  тензор  $\mathcal{X} \Rightarrow$  тензорное разложение  $\mathcal{X}$

Тензорные разложения, расширяющие SVD:

- High-order singular value decomposition (HOSVD)
- Canonical polyadic decomposition (CPD)
- $(L_r, L_r, 1)$ -decomposition

Их описание в обзорной работе Sidiropoulos, De Lathauwer et al. (2016)

## Tensor SSA

└ Тензорные модификации алгоритмов

└ Тензорный переход

### Тензорный переход

Идея, предложенная в работе Pary et al. (2005)

Базовый алгоритм: ряд  $X \Rightarrow$  матрица  $\mathbf{X} \Rightarrow$  SVD  $\mathbf{X}$   
Тензорный алгоритм: ряд  $X \Rightarrow$  тензор  $\mathcal{X} \Rightarrow$  тензорное разложение  $\mathcal{X}$

Тензорные разложения, расширяющие SVD:

- High-order singular value decomposition (HOSVD)
- Canonical polyadic decomposition (CPD)
- $(L_r, L_r, 1)$ -decomposition

Их описание в обзорной работе Sidiropoulos, De Lathauwer et al. (2016)

Как осуществить переход к тензорам? Если в SSA по ряду строится траекторная матрица, то в тензорном аналоге предлагается строить некоторый траекторный тензор, а сингулярное разложение предлагается заменить некоторым (аналогичным) тензорным разложением.

В работе [2] применяется разложение HOSVD (сингулярное разложение высшего порядка), однако существуют и другие тензорные разложения, которые расширяют сингулярное, CPD (каноническое полиадическое разложение) и  $(L_r, L_r, 1)$ -разложение.

CPD заключается в том, чтобы представить тензор в сумму как можно меньшего числа внешних произведений векторов, а  $(L_r, L_r, 1)$ -разложение заключается в том, чтобы представить тензор в виде суммы как можно меньшего числа слагаемых, которые выглядят, как внешне произведение матрицы ранга  $L_r$  на вектор.

Про HOSVD более подробно будет рассказано позже.

Описания этих и других тензорных разложений, а также примеры их применения в задачах обработки сигналов и машинного обучения, представлены в обзорной работе Sidiropoulos, De Lathauwer et al. от 2016.

Также выбор HOSVD можно обосновать тем, что оно среди всех разложений имеет наибольшее число свойств, схожих с обычным сингулярным разложением, и кроме того, другие разложения являются аппроксимациями или требуют предварительного знания некоторых параметров тензора.

# Описание HOSVD

Пусть имеется тензор  $\mathcal{A} \in \mathbb{C}^{I_1 \times I_2 \times \dots \times I_M}$ , тогда HOSVD  $\mathcal{A}$ :

$$\mathcal{A} = \sum_{i_1=1}^{I_1} \sum_{i_2=1}^{I_2} \dots \sum_{i_M=1}^{I_M} \mathcal{Z}_{i_1 i_2 \dots i_M} U_{i_1}^{(1)} \circ U_{i_2}^{(2)} \circ \dots \circ U_{i_M}^{(M)},$$

где

- $\mathbf{U}^{(n)} = [U_1^{(n)} : \dots : U_{I_n}^{(n)}]$  — унитарные матрицы;
- Тензор  $\mathcal{Z} \in \mathbb{C}^{I_1 \times I_2 \times \dots \times I_M}$  удовлетворяет свойствам
  - 1 полная ортогональность:

$$\langle \mathcal{Z}_{i_n=\alpha}, \mathcal{Z}_{i_n=\beta} \rangle = 0 \quad \alpha \neq \beta,$$

- 2 упорядоченность:

$$\|\mathcal{Z}_{i_n=1}\| \geq \|\mathcal{Z}_{i_n=2}\| \geq \dots \geq \|\mathcal{Z}_{i_n=I_n}\|.$$

## Tensor SSA

### └ High-Order SSA

### └ Описание HOSVD

#### Описание HOSVD

Пусть имеется тензор  $\mathcal{A} \in \mathbb{C}^{I_1 \times I_2 \times \dots \times I_M}$ , тогда HOSVD  $\mathcal{A}$ :

$$\mathcal{A} = \sum_{i_1=1}^{I_1} \sum_{i_2=1}^{I_2} \dots \sum_{i_M=1}^{I_M} \mathcal{Z}_{i_1 i_2 \dots i_M} U_{i_1}^{(1)} \circ U_{i_2}^{(2)} \circ \dots \circ U_{i_M}^{(M)},$$

где

- $\mathbf{U}^{(n)} = [U_1^{(n)} : \dots : U_{I_n}^{(n)}]$  — унитарные матрицы;
- Тензор  $\mathcal{Z} \in \mathbb{C}^{I_1 \times I_2 \times \dots \times I_M}$  удовлетворяет свойствам
  - 1 полная ортогональность:
 
$$\langle \mathcal{Z}_{i_n=\alpha}, \mathcal{Z}_{i_n=\beta} \rangle = 0 \quad \alpha \neq \beta,$$
  - 2 упорядоченность:
 
$$\|\mathcal{Z}_{i_n=1}\| \geq \|\mathcal{Z}_{i_n=2}\| \geq \dots \geq \|\mathcal{Z}_{i_n=I_n}\|.$$

Любой комплекснозначный тензор  $\mathcal{A}$  размерности  $I_1 \times I_2 \times \dots \times I_M$ , может быть представлен в виде суммы тензоров ранга 1, то есть внешних произведений векторов, как показано на слайде.  $M$  называется количеством измерений тензора. Такое представление называется HOSVD тензора  $\mathcal{A}$ , векторы  $U_i^{(n)}$  называют  $i$ -м сингулярным вектором тензора  $\mathcal{A}$  по измерению  $n$ , нормы Фробениуса подтензора  $\mathcal{Z}$  с фиксированным  $n$ -м индексом равным  $i$  называют  $i$ -м сингулярным значением тензора  $\mathcal{A}$  по измерению  $n$ .

Свойство полной ортогональности является аналогом свойства диагональности матрицы сингулярных значений в SVD, а свойство упорядоченности собственных значений вдоль каждого измерения — аналог упорядоченности собственных значений.

# Свойства HOSVD

Все свойства представлены в работе De Lathauwer et al. (2000)

- HOSVD — единственное  $M$ -ортогональное разложение.
- При  $M = 2$  HOSVD совпадает с SVD.
- Пусть  $\text{rank}_n(\mathcal{A})$  — размерность пространства векторов измерения  $n$  тензора. Если в HOSVD тензора  $\mathcal{A}$   $r_n$  — наибольший индекс такой, что  $\|\mathcal{Z}_{i_n=r_n}\| > 0$ , то  $r_n = \text{rank}_n(\mathcal{A})$ .

•

$$\|\mathcal{A}\|^2 = \sum_{i=1}^{R_1} \left(\sigma_i^{(1)}\right)^2 = \sum_{i=1}^{R_2} \left(\sigma_i^{(2)}\right)^2 = \dots = \sum_{i=1}^{R_M} \left(\sigma_i^{(M)}\right)^2 = \|\mathcal{Z}\|^2$$

$$\sigma_i^{(n)} = \|\mathcal{Z}_{i_n=i}\|, \quad R_n = \text{rank}_n(\mathcal{A}).$$

## Tensor SSA

### └ High-Order SSA

### └ Свойства HOSVD

#### Свойства HOSVD

Все свойства представлены в работе De Lathauwer et al. (2000)

- HOSVD — единственное  $M$ -ортогональное разложение.

- При  $M = 2$  HOSVD совпадает с SVD.

- Пусть  $\text{rank}_n(\mathcal{A})$  — размерность пространства векторов измерения  $n$  тензора. Если в HOSVD тензора  $\mathcal{A}$   $r_n$  — наибольший индекс такой, что  $\|\mathcal{Z}_{i_n=r_n}\| > 0$ , то  $r_n = \text{rank}_n(\mathcal{A})$ .

$$\|\mathcal{A}\|^2 = \sum_{i=1}^{R_1} \left(\sigma_i^{(1)}\right)^2 = \sum_{i=1}^{R_2} \left(\sigma_i^{(2)}\right)^2 = \dots = \sum_{i=1}^{R_M} \left(\sigma_i^{(M)}\right)^2 = \|\mathcal{Z}\|^2$$

$$\sigma_i^{(n)} = \|\mathcal{Z}_{i_n=i}\|, \quad R_n = \text{rank}_n(\mathcal{A}).$$

1. HOSVD является единственным  $M$ -ортогональным разложением тензора, и сингулярные значения и векторы определяются с точностью до унитарных преобразований.
2. Результат применения HOSVD к тензору с двумя измерениями, т.е. матрице, совпадает с результатом применения SVD к этой же матрице, в точности до унитарных преобразований сингулярных векторов и матрицы сингулярных значений.
3.  $n$ -рангом тензора  $\mathcal{A}$  называется размерность векторного пространства, порождённого векторами измерения  $n$  этого тензора. Обозначается  $R_n = \text{rank}_n(\mathcal{A})$ . Если в HOSVD тензора  $\mathcal{A}$   $r_n$  — наибольший индекс такой, что  $\|\mathcal{Z}_{i_n=r_n}\| > 0$ , то  $r_n = \text{rank}_n(\mathcal{A})$ ;  $n$ -ранги являются характеристикой тензора, аналогичной матричным рангам. Однако в тензорном случае,  $n$ -ранги могут различаться, поэтому для каждого измерения определяется своя характеристика.
4. Квадрат нормы тензора совпадает с суммами квадратов сингулярных значений по каждому из измерений и совпадает с квадратом нормы тензора  $\mathcal{Z}$  из разложения.



## Свойства HOSVD

- Векторы тензора  $\mathcal{A}$  по измерению  $n$  в содержат наибольшие вклады в направлении  $U_1^{(n)}$ , величина этого вклада равна  $\sigma_1^{(n)^2}$ . Следующий по величине вклад по измерению  $n$  достигается в направлении  $U_2^{(n)}$ , перпендикулярном  $U_1^{(n)}$ , с величиной  $\sigma_2^{(n)^2}$ , и т.д.
- Определим тензор  $\hat{\mathcal{A}}$  обнулением наименьших сингулярных значений  $\sigma_{I'_n+1}^{(n)}, \sigma_{I'_n+2}^{(n)}, \dots, \sigma_{R_n}^{(n)}$ , тогда

$$\|\mathcal{A} - \hat{\mathcal{A}}\|^2 \leq \sum_{i_1=I'_1+1}^{R_1} \left(\sigma_{i_1}^{(1)}\right)^2 + \dots + \sum_{i_M=I'_M+1}^{R_M} \left(\sigma_{i_M}^{(M)}\right)^2.$$

9/34

Хромов Никита Андреевич, гр.20.Б04-мм

Tensor SSA

## Tensor SSA

## └ High-Order SSA

## └ Свойства HOSVD

## Свойства HOSVD

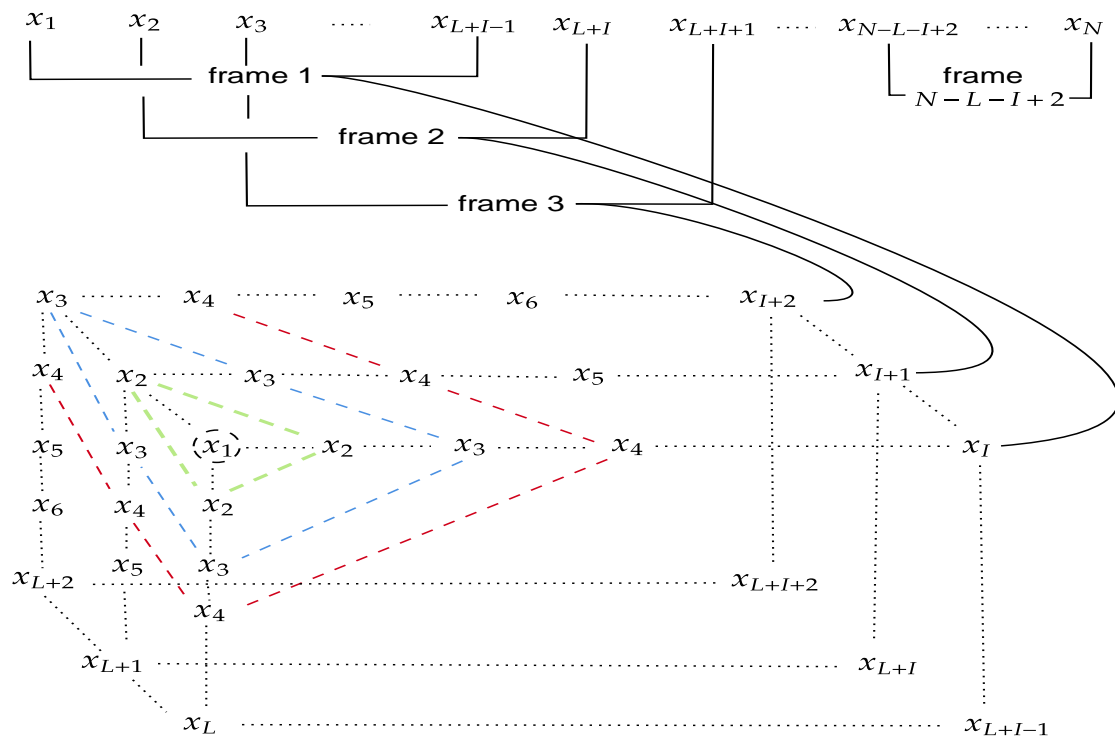
- Векторы тензора  $\mathcal{A}$  по измерению  $n$  в содержат наибольшие вклады в направлении  $U_1^{(n)}$ , величина этого вклада равна  $\sigma_1^{(n)^2}$ . Следующий по величине вклад по измерению  $n$  достигается в направлении  $U_2^{(n)}$ , перпендикулярном  $U_1^{(n)}$ , с величиной  $\sigma_2^{(n)^2}$ , и т.д.
- Определим тензор  $\hat{\mathcal{A}}$  обнулением наименьших сингулярных значений  $\sigma_{I'_n+1}^{(n)}, \sigma_{I'_n+2}^{(n)}, \dots, \sigma_{R_n}^{(n)}$ , тогда

$$\|\mathcal{A} - \hat{\mathcal{A}}\|^2 \leq \sum_{i_1=I'_1+1}^{R_1} \left(\sigma_{i_1}^{(1)}\right)^2 + \dots + \sum_{i_M=I'_M+1}^{R_M} \left(\sigma_{i_M}^{(M)}\right)^2.$$

- Векторы тензора  $\mathcal{A}$  по измерению  $n$  содержат наибольший вклад в направлении  $U_1^{(n)}$ , и вклад в этом направлении равен  $\sigma_1^{(n)^2}$ . Следующий по величине вклад по измерению  $n$  достигается в направлении  $U_2^{(n)}$ , перпендикулярном  $U_1^{(n)}$ , с величиной  $\sigma_2^{(n)^2}$ , и так далее.
- Пусть  $R_n = \text{rank}_n(\mathcal{A})$ . Определим тензор  $\hat{\mathcal{A}}$  отбрасыванием наименьших сингулярных значений  $\sigma_{I'_n+1}^{(n)}, \sigma_{I'_n+2}^{(n)}, \dots, \sigma_{R_n}^{(n)}$  для заданных значений  $I'_n$ ,  $n \in \overline{1:M}$ , то есть заменяя нулями соответствующие части тензора  $\mathcal{Z}$ . Тогда квадрат нормы разности тензоров не превосходит суммы квадратов отброшенных сингулярных значений.

Эти свойства являются эквивалентом высшего порядка связи между SVD матрицы и ее наилучшим приближением, в смысле наименьших квадратов, матрицей более низкого ранга. Однако для тензоров ситуация совершенно иная. Тензор, полученный усечением HOSVD в общем случае не является наилучшим приближением при заданных ограничениях на ранги измерений, но это приближение всё же можно считать достаточно точным.

# Построение тензора



$I, L$  — параметры длины окна

10/34

Хромов Никита Андреевич, гр.20.Б04-мм

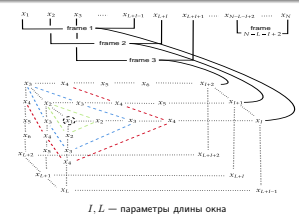
Tensor SSA

## Tensor SSA

└ HOSVD SSA: выделение сигнала

└ Построение тензора

Построение тензора



Теперь перейдём к описанию тензорных модификаций SSA, основные шаги которых были описаны в работе [2].

Аналогично построению траекторной матрицы в алгоритме SSA, траекторный тензор строится следующим образом: сначала выбираются параметры  $I$  и  $L$ , которые будем называть первой и второй длинами окна соответственно. Тогда  $k$ -й слой траекторного тензора вдоль 3-го измерения получается как траекторная матрица с длиной окна  $L$ , построенная по элементам ряда с  $k$ -го по  $k + L + I - 2$ -й (визуализация представлена на слайде). При таком построении, получается, что на побочных диагоналях элементы совпадают (соединённые пунктирной линией одного цвета).

Траекторный тензор будем обозначать символом  $X$ -красивое.

# High-Order SSA для выделения сигнала

- **$n$ -ранг тензора:** размерность пространства, порождённого векторами вдоль  $n$ -измерения тензора
- В отличие от матричного случая,  $n$ -ранги тензора произвольной размерности могут в общем случае не совпадать

Основная идея алгоритма выделения сигнала — приблизить траекторный тензор тензором с фиксированными  $n$ -рангами, меньшими, чем у исходного.

## Tensor SSA

└ HOSVD SSA: выделение сигнала

└ High-Order SSA для выделения сигнала

### High-Order SSA для выделения сигнала

- **$n$ -ранг тензора:** размерность пространства, порождённого векторами вдоль  $n$ -измерения тензора
- В отличие от матричного случая,  $n$ -ранги тензора произвольной размерности могут в общем случае не совпадать

Основная идея алгоритма выделения сигнала — приблизить траекторный тензор тензором с фиксированными  $n$ -рангами, меньшими, чем у исходного.

Напомним понятие  $n$ -ранга тензора: это размерность пространства, порождённого векторами вдоль  $n$ -го измерения тензора. Также вспомним, что в отличие от матричного случая,  $n$ -ранги тензора произвольной размерности могут в общем случае не совпадать.

Основной идеей тензорной модификации алгоритма SSA для выделения сигнала является приближение траекторного тензора некоторым другим тензором с меньшими  $n$ -рангами.

## HOSVD SSA: разложение и группировка

- **Разложение:** HOSVD траекторного тензора  $\mathcal{X}$  имеет вид

$$\mathcal{X} = \sum_{i=1}^I \sum_{l=1}^L \sum_{j=1}^{N-I-L+2} \mathcal{Z}_{ilj} \mathbf{U}_i^{(1)} \circ \mathbf{U}_l^{(2)} \circ \mathbf{U}_j^{(3)}$$

- **Группировка:**

$$\tilde{\mathcal{X}} = \sum_{i=1}^R \sum_{l=1}^R \sum_{j=1}^R \mathcal{Z}_{ilj} \mathbf{U}_i^{(1)} \circ \mathbf{U}_l^{(2)} \circ \mathbf{U}_j^{(3)}$$

$R \leq \min(I, L, N - I - L + 2)$  — параметр алгоритма

- **Восстановление:** усреднение тензора  $\tilde{\mathcal{X}}$  вдоль побочных плоскостей  $\{i + l + j = \text{const}\}$

## Tensor SSA

└ HOSVD SSA: выделение сигнала

└ HOSVD SSA: разложение и группировка

## HOSVD SSA: разложение и группировка

- **Разложение:** HOSVD траекторного тензора  $\mathcal{X}$  имеет вид

$$\mathcal{X} = \sum_{i=1}^I \sum_{l=1}^L \sum_{j=1}^{N-I-L+2} \mathcal{Z}_{ilj} \mathbf{U}_i^{(1)} \circ \mathbf{U}_l^{(2)} \circ \mathbf{U}_j^{(3)}$$

- **Группировка:**

$$\tilde{\mathcal{X}} = \sum_{i=1}^R \sum_{l=1}^R \sum_{j=1}^R \mathcal{Z}_{ilj} \mathbf{U}_i^{(1)} \circ \mathbf{U}_l^{(2)} \circ \mathbf{U}_j^{(3)}$$

$R \leq \min(I, L, N - I - L + 2)$  — параметр алгоритма

- **Восстановление:** усреднение тензора  $\tilde{\mathcal{X}}$  вдоль побочных плоскостей  $\{i + l + j = \text{const}\}$

Первая мысль — урезать тензор сингулярных значений в HOSVD траекторного тензора по каждому измерению. В силу свойств HOSVD, такое усечение не даёт оптимальное приближение тензора, но всё же оно довольно точное.

На этапе разложения траекторный тензор представляется в виде тройной суммы одноранговых тензоров.

Этап группировки принимает вид обрезанной суммы, как представлено на слайде. У всех сумм один и тот же верхний предела в силу теоремы, которая будет сформулирована позже.

Процесс восстановления является обратным к этапу вложения и заключается в усреднении элементов полученного тензора вдоль побочных гиперплоскостей (на которых сумма индексов - константа).

# Higher Order Orthogonal Iteration (HOOI)

Другой метод приближения произвольного тензора тензором заданных  $n$ -рангов — Higher Order Orthogonal Iteration (HOOI). Описание алгоритма HOOI и его свойства приведены в работе Sheehan et al. (2007) Higher Order Orthogonal Iteration of Tensors (HOOI) and its Relation to PCA and GLRAM.

При заданных  $\mathcal{A} \in \mathbb{R}^{I_1 \times I_2 \times \dots \times I_M}$  и  $(R_1, R_2, \dots, R_M)$  минимизируется норма Фробениуса

$$\|\mathcal{A} - \tilde{\mathcal{A}}\|^2 \rightarrow \min,$$

где  $\min$  по всем  $\tilde{\mathcal{A}} : \tilde{\mathcal{A}} \in \mathbb{R}^{I_1 \times I_2 \times \dots \times I_M}$ ,  $\text{rank}_n(\tilde{\mathcal{A}}) = R_i$

Tensor SSA  
└ HOOI SSA

└ Higher Order Orthogonal Iteration (HOOI)

## Higher Order Orthogonal Iteration (HOOI)

Другой метод приближения произвольного тензора тензором заданных  $n$ -рангов — Higher Order Orthogonal Iteration (HOOI). Описание алгоритма HOOI и его свойства приведены в работе Sheehan et al. (2007) Higher Order Orthogonal Iteration of Tensors (HOOI) and its Relation to PCA and GLRAM.

При заданных  $\mathcal{A} \in \mathbb{R}^{I_1 \times I_2 \times \dots \times I_M}$  и  $(R_1, R_2, \dots, R_M)$  минимизируется норма Фробениуса

$$\|\mathcal{A} - \tilde{\mathcal{A}}\|^2 \rightarrow \min,$$

где  $\min$  по всем  $\tilde{\mathcal{A}} : \tilde{\mathcal{A}} \in \mathbb{R}^{I_1 \times I_2 \times \dots \times I_M}$ ,  $\text{rank}_n(\tilde{\mathcal{A}}) = R_i$

Другая мысль — использовать метод ортогональных итераций высшего порядка HOOI, который по тензору и заданным  $n$ -рангам находит другой тензор этих  $n$ -рангов, наиболее точно приближающий исходный.

Описание алгоритма HOOI и его свойства приведены в работе Sheehan et al. от 2007 г.

При заданных  $\mathcal{A} \in \mathbb{R}^{I_1 \times I_2 \times \dots \times I_M}$  и  $(R_1, R_2, \dots, R_M)$  минимизируется норма Фробениуса

$$\|\mathcal{A} - \tilde{\mathcal{A}}\|^2 \rightarrow \min,$$

где  $\min$  берётся по всем  $\tilde{\mathcal{A}} : \tilde{\mathcal{A}} \in \mathbb{R}^{I_1 \times I_2 \times \dots \times I_M}$ ,  $\text{rank}_n(\tilde{\mathcal{A}}) = R_i$

## HOOI SSA: разложение и восстановление

- **HOOI:** Выбор ранга сигнала  $r$  и применение к траекторному тензору  $\mathcal{X}$  HOOI с набором  $n$ -рангов  $(r, r, r)$ . Результат — оптимальное приближение тензором  $\hat{\mathcal{X}}$  с  $n$ -рангами  $r$
- **Восстановление:** усреднение тензора  $\hat{\mathcal{X}}$  аналогично восстановлению в варианте с усечением HOSVD

**Результат алгоритма:** полученный усреднением ряд  $\hat{X}$  — оценка сигнала  $S$

Tensor SSA  
└ HOOI SSA

└ HOOI SSA: разложение и восстановление

HOOI SSA: разложение и восстановление

- **HOOI:** Выбор ранга сигнала  $r$  и применение к траекторному тензору  $\mathcal{X}$  HOOI с набором  $n$ -рангов  $(r, r, r)$ . Результат — оптимальное приближение тензором  $\hat{\mathcal{X}}$  с  $n$ -рангами  $r$
- **Восстановление:** усреднение тензора  $\hat{\mathcal{X}}$  аналогично восстановлению в варианте с усечением HOSVD

**Результат алгоритма:** полученный усреднением ряд  $\hat{X}$  — оценка сигнала  $S$

Алгоритм выделения сигнала из ряда с использованием HOOI будет выглядеть следующим образом: шаг вложения такой же, а вместо шага разложения к тензору применяется метод ортогональных итераций. Этап восстановления тот же, что и в предыдущем алгоритме, то есть усреднение по побочным гиперплоскостям.

# Ранг сигнала

$S$  имеет ранг  $r$ , если  $r < N/2$  и  
 $\forall L : r \leq \min(L, K) \quad \text{rank } S = r$

Рекомендуемый выбор параметра  $R$  в алгоритме:  $R = r$

## Примеры

- 1  $s_n = \cos(2\pi n\omega + \psi), \quad n \in \overline{1:N},$   
 $0 < \omega < 1/2, \psi \in [0, 2\pi)$   
 $r = 2$
- 2  $s_n = a^n, \quad n \in \overline{1:N}, \quad a \neq 0$   
 $r = 1$

## Tensor SSA

└ Свойства HO-SSA в задаче выделения сигнала

└ Ранг сигнала

### Ранг сигнала

$S$  имеет ранг  $r$ , если  $r < N/2$  и  
 $\forall L : r \leq \min(L, K) \quad \text{rank } S = r$   
 Рекомендуемый выбор параметра  $R$  в алгоритме:  $R = r$

#### Примеры

- 1  $s_n = \cos(2\pi n\omega + \psi), \quad n \in \overline{1:N},$   
 $0 < \omega < 1/2, \psi \in [0, 2\pi)$   
 $r = 2$
- 2  $s_n = a^n, \quad n \in \overline{1:N}, \quad a \neq 0$   
 $r = 1$

Встаёт проблема выбора параметра  $R$  в обоих алгоритмах.

Важным понятием в теории SSA является понятие ранга ряда.

Говорят, что сигнал  $S$  имеет ранг  $r$ , если для любой длины окна  $L : r \leq \min(L, K)$ , ранг матрицы вложения  $S$ , построенной по этой длине окна равен  $r$ .

Это понятие позволяет свести выбор параметра  $R$  из алгоритма к определению ранга сигнала, после чего  $R$  рекомендуется выбирать равным  $r$ .

Примеры:

Функция косинуса с частотой  $\omega$  и фазой  $\psi$  при выполнении условий на частоту имеет ранг 2.

Показательная функция имеет ранг 1.

## Ранг в HOSVD SSA

## Теорема

Пусть сигнал  $S$  имеет конечный ранг  $r$  в терминах SSA.  
Тогда для любых значений параметров  $I$  и  $L$  таких, что

$$r \leq \min(I, L, N - I - L + 2),$$

все  $n$ -ранги траекторного тензора  $\mathcal{X}$  этого сигнала с длинами окна  $I$  и  $L$  будут равны  $r$ .

## Tensor SSA

└ Свойства HO-SSA в задаче выделения сигнала

└ Ранг в HOSVD SSA

## Ранг в HOSVD SSA

## Теорема

Пусть сигнал  $S$  имеет конечный ранг  $r$  в терминах SSA.  
Тогда для любых значений параметров  $I$  и  $L$  таких, что

$$r \leq \min(I, L, N - I - L + 2),$$

все  $n$ -ранги траекторного тензора  $\mathcal{X}$  этого сигнала с длинами окна  $I$  и  $L$  будут равны  $r$ .

Мной было получено утверждение, позволяющее перенести понятие ранга сигнала из теории SSA на тензорный вариант: при выполнении некоторых условий, все  $n$ -ранги траекторного тензора  $\mathcal{X}$  будут равны рангу этого сигнала.

Таким образом, выбор  $R$  в тензорных алгоритмах аналогичен выбору  $R$  в стандартном алгоритме SSA.



# Трудоёмкость алгоритмов HO-SSA

- **HOSVD-SSA:** вычисление HOSVD тензора размерности  $I \times L \times J$  имеет трудоёмкость порядка

$$O(ILJ(\min(I, LJ) + \min(L, IJ) + \min(J, IL))).$$

Если требуется вычислить только усечение HOSVD с  $n$ -рангами  $(r_1, r_2, r_3)$ , то трудоёмкость можно уменьшить до порядка

$$O(ILJ(r_1 + r_2 + r_3)).$$

- **HOOI-SSA:** HOOI — итеративный алгоритм. Трудоёмкость каждой итерации имеет порядок

$$O(r_1 r_2 r_3 (I + L + J)),$$

а скорость сходимости алгоритма линейная.

## Tensor SSA

└ Свойства HO-SSA в задаче выделения сигнала

└ Трудоёмкость алгоритмов HO-SSA

### Трудоёмкость алгоритмов HO-SSA

- **HOSVD-SSA:** вычисление HOSVD тензора размерности  $I \times L \times J$  имеет трудоёмкость порядка  $O(ILJ(\min(I, LJ) + \min(L, IJ) + \min(J, IL)))$ .  
Если требуется вычислить только усечение HOSVD с  $n$ -рангами  $(r_1, r_2, r_3)$ , то трудоёмкость можно уменьшить до порядка  $O(ILJ(r_1 + r_2 + r_3))$ .
- **HOOI-SSA:** HOOI — итеративный алгоритм. Трудоёмкость каждой итерации имеет порядок  $O(r_1 r_2 r_3 (I + L + J))$ , а скорость сходимости алгоритма линейная.

Рассмотрим трудоёмкость тензорных модификаций SSA. Так как шаг разложения является самым трудоёмким шагом в алгоритме HOSVD SSA, то для оценки трудоёмкости алгоритма достаточно оценить трудоёмкость сингулярного разложения траекторного тензора.

Из известных свойств HOSVD и асимптотической трудоёмкости матричного SVD асимптотическая сложность HOSVD траекторного тензора, и всего алгоритма, имеет вид

$$O(ILJ(\min(I, LJ) + \min(L, IJ) + \min(J, IL))).$$

Если требуется найти только первые  $r$  компонент SVD матрицы размерности  $m \times n$ , и  $r$  достаточно мало, то трудоёмкость можно уменьшить до  $O(rmn)$ . Тогда эту модификацию можно применить для нахождения усечения HOSVD  $n$ -рангами  $(r_1, r_2, r_3)$  и трудоёмкость составит

$$O(ILJ(r_1 + r_2 + r_3)).$$

Оценим трудоёмкость алгоритма HOOI SSA. Самым трудоёмким шагом в алгоритме HOOI SSA является применение к траекторному тензору алгоритма ортогональных итераций. Этот алгоритм является итерационным, и известно, что в тех же обозначениях каждая итерация имеет асимптотическую сложность

$$O(r_1 r_2 r_3 (I + L + J)),$$

причём скорость сходимости алгоритма линейная.

# HOSVD SSA: разделение компонент сигнала

Пусть  $S = \sum_{k=1}^m S_k$

Шаги вложения и разложения совпадают с алгоритмом HOSVD SSA для выделения сигнала.

- **Группировка:** разбиение множества индексов  $\mathfrak{S} = \{1, 2, \dots, \min(I, L, J)\}$  по смыслу на непересекающиеся множества  $\mathfrak{S}_k$ ,  $k \in \overline{1:m}$  и построение по этому разбиению тензоров

$$\mathcal{X}^{(\mathfrak{S}_k)} = \sum_{i \in \mathfrak{S}_k} \sum_{l \in \mathfrak{S}_k} \sum_{j \in \mathfrak{S}_k} z_{ilj} \mathbf{U}_i^{(1)} \circ \mathbf{U}_l^{(2)} \circ \mathbf{U}_j^{(3)}.$$

- **Восстановление:** получение рядов  $\tilde{S}_k$  по тензорам  $\mathcal{X}^{(\mathfrak{S}_k)}$  посредством их усреднения вдоль плоскостей  $\{i + l + j = \text{const}\}$

**Результат алгоритма:**  $\tilde{S}_k$  — оценка  $S_k$ .

## Tensor SSA

└ HOSVD-SSA: разделение компонент сигнала

└ HOSVD SSA: разделение компонент сигнала

### HOSVD SSA: разделение компонент сигнала

Пусть  $S = \sum_{k=1}^m S_k$   
Шаги вложения и разложения совпадают с алгоритмом HOSVD SSA для выделения сигнала.

- **Группировка:** разбиение множества индексов  $\mathfrak{S} = \{1, 2, \dots, \min(I, L, J)\}$  по смыслу на непересекающиеся множества  $\mathfrak{S}_k$ ,  $k \in \overline{1:m}$  и построение по этому разбиению тензоров

$$\mathcal{X}^{(\mathfrak{S}_k)} = \sum_{i \in \mathfrak{S}_k} \sum_{l \in \mathfrak{S}_k} \sum_{j \in \mathfrak{S}_k} z_{ilj} \mathbf{U}_i^{(1)} \circ \mathbf{U}_l^{(2)} \circ \mathbf{U}_j^{(3)}.$$

- **Восстановление:** получение рядов  $\tilde{S}_k$  по тензорам  $\mathcal{X}^{(\mathfrak{S}_k)}$  посредством их усреднения вдоль плоскостей  $\{i + l + j = \text{const}\}$

**Результат алгоритма:**  $\tilde{S}_k$  — оценка  $S_k$ .

Теперь приведём описание алгоритма HOSVD SSA для решения задачи отделения компонент сигнала. Пусть сигнал  $S$  является суммой сигналов  $S_k$ . Шаги вложения и разложения аналогичны тем, что были в алгоритме HOSVD SSA для выделения сигнала, поэтому описание продолжим с шага группировки. На этом шаге множество индексов от одного до минимума по измерениям траекторного тензора разбивается пользователем на непересекающиеся множества  $\mathfrak{S}_k$ , и по каждому множеству строятся тензоры  $\mathcal{X}^{(\mathfrak{S}_k)}$  образом, как показано на слайде. Следующий шаг: восстановление, по каждому тензору  $\mathcal{X}^{(\mathfrak{S}_k)}$  восстанавливаются оценки рядов  $S_k$  путём усреднения этих тензоров вдоль побочных гиперплоскостей. Результатом алгоритма будет набор оценок сигналов, составляющих исходный сигнал.

# Разделимость рядов в HOSVD-SSA

Разделимость рядов является важным понятием в теории SSA

## Теорема

Временные ряды  $\tilde{X}$  и  $\hat{X}$  длины  $N$  слабо  $I$ - и  $L$ -разделимы в смысле теории SSA тогда и только тогда, когда существует такое HOSVD траекторного тензора  $\mathcal{X}$  ряда  $X = \tilde{X} + \hat{X}$ , что его можно в виде суммы HOSVD траекторных тензоров рядов  $\tilde{X}$  и  $\hat{X}$ .

Понятие слабой разделимости рядов из SSA применимо к HO-SSA

## Tensor SSA

└ HOSVD-SSA: разделение компонент сигнала

└ Разделимость рядов в HOSVD-SSA

### Разделимость рядов в HOSVD-SSA

Разделимость рядов является важным понятием в теории SSA

#### Теорема

Временные ряды  $\tilde{X}$  и  $\hat{X}$  длины  $N$  слабо  $I$ - и  $L$ -разделимы в смысле теории SSA тогда и только тогда, когда существует такое HOSVD траекторного тензора  $\mathcal{X}$  ряда  $X = \tilde{X} + \hat{X}$ , что его можно в виде суммы HOSVD траекторных тензоров рядов  $\tilde{X}$  и  $\hat{X}$ .

Понятие слабой разделимости рядов из SSA применимо к HO-SSA

Важную роль в теории SSA играет понятие разделимости. Мной было доказано следующее утверждение, позволяющее перенести понятие слабой разделимости из теории SSA на тензорный случай.

Временные ряды  $\tilde{X}$  и  $\hat{X}$  длины  $N$  слабо  $I$ - и  $L$ -разделимы в смысле теории SSA тогда и только тогда, когда существует такое HOSVD траекторного тензора  $\mathcal{X}$  ряда  $X = \tilde{X} + \hat{X}$ , что его можно в виде суммы HOSVD траекторных тензоров рядов  $\tilde{X}$  и  $\hat{X}$ .

Многомерный временной ряд:

$$\mathbf{X} = (\mathbf{X}_1 : \mathbf{X}_2 : \dots : \mathbf{X}_P), \quad \mathbf{X}_p = \left( x_1^{(p)}, x_2^{(p)}, \dots, x_N^{(p)} \right)^T$$

Траекторная матрица этого ряда:

$$\mathbf{X} = [\mathbf{X}_1 : \mathbf{X}_2 : \dots : \mathbf{X}_P],$$

$\mathbf{X}_p$  — траекторная матрица  $\mathbf{X}_p$

Дальнейшие шаги алгоритма MSSA (разложение траекторной матрицы и восстановление сигнала) аналогичны стандартному SSA.

В случаях, когда сигналы  $S_p$  имеют похожую структуру, использование MSSA даёт лучшие результаты, чем применение SSA к каждому ряду отдельно.

Tensor SSA

└ HOSVD-MSSA

└ MSSA

MSSA

Многомерный временной ряд:  
 $\mathbf{X} = (\mathbf{X}_1 : \mathbf{X}_2 : \dots : \mathbf{X}_P), \quad \mathbf{X}_p = \left( x_1^{(p)}, x_2^{(p)}, \dots, x_N^{(p)} \right)^T$

Траекторная матрица этого ряда:  
 $\mathbf{X} = [\mathbf{X}_1 : \mathbf{X}_2 : \dots : \mathbf{X}_P],$   
 $\mathbf{X}_p$  — траекторная матрица  $\mathbf{X}_p$

Дальнейшие шаги алгоритма MSSA (разложение траекторной матрицы и восстановление сигнала) аналогичны стандартному SSA.

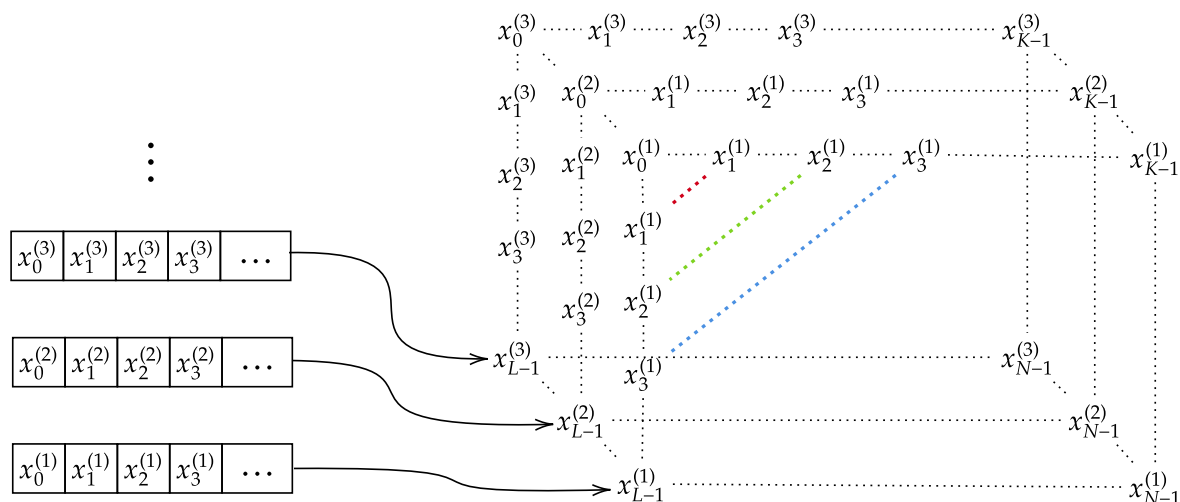
В случаях, когда сигналы  $S_p$  имеют похожую структуру, использование MSSA даёт лучшие результаты, чем применение SSA к каждому ряду отдельно.

Теперь рассмотрим расширение метода SSA для многомерных временных рядов: MSSA, причём будем рассматривать только задачу выделения сигнала. Под многомерным временным рядом будем понимать набор временных рядов одной длины. Траекторная матрица многомерного ряда с длиной окна  $L$  строится стыковкой траекторных тензоров одномерных рядов с той же длиной окна по столбцам. Дальнейшие шаги MSSA (а именно: разложение траекторной матрицы и восстановление сигнала) аналогичны стандартному SSA для одномерных рядов.

Стоит заметить, что из теории SSA известно, что в случаях, когда сигналы  $S_p$  имеют похожую в некотором смысле структуру, использование MSSA даёт лучшие результаты, чем применение SSA к каждому ряду отдельно.

## HOSVD-MSSA

Вместо матрицы  $\mathbf{X} = [\mathbf{X}_1 : \mathbf{X}_2 : \dots : \mathbf{X}_P]$   
 строится тензор  $\mathcal{X} : \mathcal{X}_{..p} = \mathbf{X}_p$

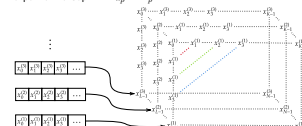


Tensor SSA

└ HOSVD-MSSA

└ HOSVD-MSSA

HOSVD-MSSA

Вместо матрицы  $\mathbf{X} = [\mathbf{X}_1 : \mathbf{X}_2 : \dots : \mathbf{X}_P]$   
 строится тензор  $\mathcal{X} : \mathcal{X}_{..p} = \mathbf{X}_p$ 

В тензорной модификации вместо склеивания траекторных матриц по столбцам траекторный тензор строится склеиванием траекторных матриц рядов вдоль третьего измерения («накладыванием матриц в стопку»). Шаг разложения тот же, что и в алгоритме HOSVD SSA. Этап восстановления обратен этапу вложения.

# Ранг сигнала в HOSVD-MSSA

## Теорема

*Многомерный временной ряд*

$$\left(x_0^{(p)}, x_1^{(p)}, \dots, x_N^{(p)}\right), \quad p = 1, 2, \dots, P$$

*имеет ранг  $r$  в терминах MSSA тогда и только тогда, когда для траекторного тензора  $\mathcal{X}$ , построенного по любой длине окна  $L < N$  такой, что  $\min(L, K) \geq r$  выполняется  $\text{rank}_1(\mathcal{X}) = \text{rank}_2(\mathcal{X}) = r$ .*

*Если к тому же  $N > P$ , то 3-ранг  $\mathcal{X}$  будет равен рангу матрицы, в строках которой содержатся одномерные временные ряды, составляющие заданный многомерный ряд.*

## Tensor SSA

└ Свойства HOSVD-MSSA для выделения сигнала

└ Ранг сигнала в HOSVD-MSSA

### Ранг сигнала в HOSVD-MSSA

#### Теорема

*Многомерный временной ряд*

$$\left(x_0^{(p)}, x_1^{(p)}, \dots, x_N^{(p)}\right), \quad p = 1, 2, \dots, P$$

*имеет ранг  $r$  в терминах MSSA тогда и только тогда, когда для траекторного тензора  $\mathcal{X}$ , построенного по любой длине окна  $L < N$  такой, что  $\min(L, K) \geq r$  выполняется  $\text{rank}_1(\mathcal{X}) = \text{rank}_2(\mathcal{X}) = r$ .*

*Если к тому же  $N > P$ , то 3-ранг  $\mathcal{X}$  будет равен рангу матрицы, в строках которой содержатся одномерные временные ряды, составляющие заданный многомерный ряд.*

Мной было получено утверждение, позволяющее перенести понятие ранга ряда на тензорный вариант MSSA.

Многомерный временной ряд

$$\left(x_0^{(p)}, x_1^{(p)}, \dots, x_N^{(p)}\right), \quad p = 1, 2, \dots, P$$

имеет ранг  $r$  в терминах MSSA тогда и только тогда, когда для траекторного тензора  $\mathcal{X}$ , построенного по любой длине окна  $L < N$  такой, что  $\min(L, K) \geq r$  выполняется  $\text{rank}_1(\mathcal{X}) = \text{rank}_2(\mathcal{X}) = r$ .

Если к тому же  $N > P$ , то 3-ранг  $\mathcal{X}$  будет равен рангу матрицы, в строках которой содержатся одномерные временные ряды, составляющие заданный многомерный ряд.

Таким образом, исходя из этого утверждения, можно вывести рекомендации по выбору параметров  $R_i$ .

# Ранг сигнала в HOSVD-MSSA

- 1- и 2-ранги траекторного тензора  $\mathcal{X}$  сигнала  $S$  совпадают с рангом этого сигнала в терминах MSSA
- 3-ранг имеет смысл степени структурного различия одномерных сигналов, составляющих данный многомерный

На этапе группировки рекомендуется брать  $R_1 = R_2 = r$  и  $R_3 = r_3$ , где  $r$  — MSSA-ранг сигнала, а  $r_3$  — ранг матрицы, составленной из  $S_p$

**Примеры**  $s_n^{(p)} = a_p \cos(2\pi n \omega_p + \psi_p)$ ,  $p \in \{1, 2\}$ ,  $n \in \overline{1:N}$ ,  $a_p \neq 0$ ,  $0 < \omega_p < 1/2$ ,  $\psi_p \in [0, 2\pi)$

- ❶  $\psi_1 = \psi_2, \omega_1 = \omega_2 \implies r = r_1 = r_2 = 2, r_3 = 1$
- ❷  $\psi_1 \neq \psi_2, \omega_1 = \omega_2 \implies r = r_1 = r_2 = 2, r_3 = 2$
- ❸  $\omega_1 \neq \omega_2 \implies r = r_1 = r_2 = 4, r_3 = 2$

## Tensor SSA

└ Свойства HOSVD-MSSA для выделения сигнала

└ Ранг сигнала в HOSVD-MSSA

### Ранг сигнала в HOSVD-MSSA

- 1- и 2-ранги траекторного тензора  $\mathcal{X}$  сигнала  $S$  совпадают с рангом этого сигнала в терминах MSSA
- 3-ранг имеет смысл степени структурного различия одномерных сигналов, составляющих данный многомерный

На этапе группировки рекомендуется брать  $R_1 = R_2 = r$  и  $R_3 = r_3$ , где  $r$  — MSSA-ранг сигнала, а  $r_3$  — ранг матрицы, составленной из  $S_p$

**Примеры**  $s_n^{(p)} = a_p \cos(2\pi n \omega_p + \psi_p)$ ,  $p \in \{1, 2\}$ ,  $n \in \overline{1:N}$ ,  $a_p \neq 0$ ,  $0 < \omega_p < 1/2$ ,  $\psi_p \in [0, 2\pi)$

- ❶  $\psi_1 = \psi_2, \omega_1 = \omega_2 \implies r = r_1 = r_2 = 2, r_3 = 1$
- ❷  $\psi_1 \neq \psi_2, \omega_1 = \omega_2 \implies r = r_1 = r_2 = 2, r_3 = 2$
- ❸  $\omega_1 \neq \omega_2 \implies r = r_1 = r_2 = 4, r_3 = 2$

$R_1$  и  $R_2$  рекомендуется выбирать равными рангу сигнала в терминах MSSA, а  $R_3$  равным рангу матрицы, составленной из одномерных сигналов, составляющих данный многомерный сигнал.

Этап группировки в алгоритме HO-MSSA рекомендуется проводить в соответствии с выбором параметров  $R$  и  $R_3$ .

В качестве примера рассмотрим двумерный ряд, порождённый двумя косинусами.

Если сигналы отличаются только домножением на константу, то ранг сигнала в MSSA и его тензорном варианте равны 2, а ранг тензора вдоль третьего измерения равен 1.

Если сигналы отличаются на сдвиг по фазе, то ранг сигнала всё ещё равен 2, но ранг тензора вдоль 3-го измерения уже будет 2.

Если у синусов разные частоты, то ранг сигнала уже будет равен 4, а ранг  $r_3 = 2$ .

## HO-MSSA: разделение компонент сигнала

Пусть  $S = \sum_{m=1}^M S_m$

Шаги вложения и разложения совпадают с алгоритмом HO-MSSA для выделения сигнала

- **Группировка** разбиение множества индексов  $\mathfrak{S} = \{1, 2, \dots, \min(L, K)\}$  и  $\mathfrak{P} = \{1, 2, \dots, P\}$  по смыслу на подмножества  $\mathfrak{S}_m$  и  $\mathfrak{P}_m$ ,  $m \in \overline{1:M}$ , и построение по этому разбиению тензоров

$$\mathcal{X}_m = \sum_{l \in \mathfrak{S}_m} \sum_{k \in \mathfrak{S}_m} \sum_{p \in \mathfrak{P}_m} z_{lkp} \mathbf{U}_l^{(1)} \circ \mathbf{U}_k^{(2)} \circ \mathbf{U}_p^{(3)}$$

- **Восстановление** получение рядов  $\tilde{S}_m$  по тензорам  $\mathcal{X}_m$  путём усреднения их слоёв вдоль побочных диагоналей

Результат алгоритма:  $\tilde{S}_m$  — оценка  $S_m$

## Tensor SSA

└ HO-MSSA: разделение компонент сигнала

└ HO-MSSA: разделение компонент сигнала

## HO-MSSA: разделение компонент сигнала

Пусть  $S = \sum_{m=1}^M S_m$   
Шаги вложения и разложения совпадают с алгоритмом HO-MSSA для выделения сигнала

- **Группировка** разбиение множества индексов  $\mathfrak{S} = \{1, 2, \dots, \min(L, K)\}$  и  $\mathfrak{P} = \{1, 2, \dots, P\}$  по смыслу на подмножества  $\mathfrak{S}_m$  и  $\mathfrak{P}_m$ ,  $m \in \overline{1:M}$ , и построение по этому разбиению тензоров

$$\mathcal{X}_m = \sum_{l \in \mathfrak{S}_m} \sum_{k \in \mathfrak{S}_m} \sum_{p \in \mathfrak{P}_m} z_{lkp} \mathbf{U}_l^{(1)} \circ \mathbf{U}_k^{(2)} \circ \mathbf{U}_p^{(3)}$$

- **Восстановление** получение рядов  $\tilde{S}_m$  по тензорам  $\mathcal{X}_m$  путём усреднения их слоёв вдоль побочных диагоналей

Результат алгоритма:  $\tilde{S}_m$  — оценка  $S_m$

Наконец, приведём описание алгоритма HO-MSSA для отделения компонент сигнала.

Шаги вложения и разложения совпадают с соответствующими шагами в алгоритме HO-MSSA для выделения сигнала.

На этапе группировки строятся разбиения множества индексов  $\mathfrak{S}$  и  $\mathfrak{P}$  на подмножества  $\mathfrak{S}_m$  и  $\mathfrak{P}_m$ , и по каждой паре этих множеств строятся тензоры  $\mathcal{X}_m$

$$\mathcal{X}_m = \sum_{l \in \mathfrak{S}_m} \sum_{k \in \mathfrak{S}_m} \sum_{p \in \mathfrak{P}_m} z_{lkp} \mathbf{U}_l^{(1)} \circ \mathbf{U}_k^{(2)} \circ \mathbf{U}_p^{(3)}$$

Этап восстановления заключается в получении многомерных рядов  $\tilde{S}_m$  по тензорам  $\mathcal{X}_m$  аналогично шагу восстановления из алгоритма для выделения сигнала.



## HO-MSSA: разделение компонент сигнала

$\hat{X}, \tilde{X}, X$  — многомерные временные ряды,  $X = \hat{X} + \tilde{X}$   
 $\hat{\mathcal{X}}, \tilde{\mathcal{X}}, \mathcal{X}$  — траекторные тензоры рядов  $\hat{X}, \tilde{X}, X$  с длиной окна  $L$   
 $\Lambda_I(X) = \text{span} \left\{ (x_i^{(p)}, x_{i+1}^{(p)}, \dots, x_{i+I-1}^{(p)}) \right\}$

## Теорема

Такие HOSVD тензоров  $\hat{X}$  и  $\tilde{X}$ , что их сумма является HOSVD тензора  $\mathcal{X}$  существуют тогда и только тогда, когда ортогональны пары пространств:  
 $\Lambda_L(\hat{X}) \perp \Lambda_L(\tilde{X})$  и  $\Lambda_K(\hat{X}) \perp \Lambda_K(\tilde{X})$

Этот критерий разделимости более строгий, чем в алгоритме MSSA

Этот критерий позволяет вывести рекомендации по выбору параметров  $L, \mathfrak{S}_m, \mathfrak{P}_m$

## Tensor SSA

└ HO-MSSA: разделение компонент сигнала

└ HO-MSSA: разделение компонент сигнала

## HO-MSSA: разделение компонент сигнала

$\hat{X}, \tilde{X}, X$  — многомерные временные ряды,  $X = \hat{X} + \tilde{X}$   
 $\hat{\mathcal{X}}, \tilde{\mathcal{X}}, \mathcal{X}$  — траекторные тензоры рядов  $\hat{X}, \tilde{X}, X$  с длиной окна  $L$   
 $\Lambda_I(X) = \text{span} \left\{ (x_i^{(p)}, x_{i+1}^{(p)}, \dots, x_{i+I-1}^{(p)}) \right\}$

## Теорема

Такие HOSVD тензоров  $\hat{X}$  и  $\tilde{X}$ , что их сумма является HOSVD тензора  $\mathcal{X}$  существуют тогда и только тогда, когда ортогональны пары пространств:  
 $\Lambda_L(\hat{X}) \perp \Lambda_L(\tilde{X})$  и  $\Lambda_K(\hat{X}) \perp \Lambda_K(\tilde{X})$

Этот критерий разделимости более строгий, чем в алгоритме MSSA

Этот критерий позволяет вывести рекомендации по выбору параметров  $L, \mathfrak{S}_m, \mathfrak{P}_m$

Мной было получено утверждение, позволяющее выводить рекомендации по выбору параметров  $L, \mathfrak{S}_m$  и  $\mathfrak{P}_m$  в алгоритме HO-MSSA для разделения компонент.

Пусть  $\hat{X}, \tilde{X}, X$  — многомерные временные ряды ( $X = \hat{X} + \tilde{X}$ ),  $\hat{\mathcal{X}}, \tilde{\mathcal{X}}, \mathcal{X}$  — траекторные тензоры рядов  $\hat{X}, \tilde{X}, X$  соответственно с длиной окна  $L$ . Обозначим  $\Lambda_I(X) = \text{span} \left\{ (x_i^{(p)}, x_{i+1}^{(p)}, \dots, x_{i+I-1}^{(p)}) \right\}$ .

## Теорема

Такие HOSVD тензоров  $\hat{X}$  и  $\tilde{X}$ , что их сумма является HOSVD тензора  $\mathcal{X}$  существуют тогда и только тогда, когда ортогональны пары пространств:  
 $\Lambda_L(\hat{X}) \perp \Lambda_L(\tilde{X})$  и  $\Lambda_K(\hat{X}) \perp \Lambda_K(\tilde{X})$

Стоит заметить, что этот критерий разделимости более строгий, чем в алгоритме MSSA.

# Численные сравнения: выделение сигнала

$$\begin{aligned} X &= (X_1 : \dots : X_P), \\ X_p &= \left( s_1^{(p)} + \varepsilon_1^{(p)}, \dots, s_N^{(p)} + \varepsilon_N^{(p)} \right), \\ s_n^{(p)} &= a_p \cos(2\pi n \omega_p + \psi_p), \end{aligned}$$

где  $n \in \overline{1:71}$ ,  $p \in \overline{1:5}$ ,  $\varepsilon_n^{(p)}$  — белый гауссовский шум с дисперсией 25,  $s_n^{(p)}$  — элементы искомого сигнала.

Оценка точности — RMSE по 500 реализациям шума.

## Tensor SSA

### └ Численные сравнения

### └ Численные сравнения: выделение сигнала

Численные сравнения: выделение сигнала

$$\begin{aligned} X &= (X_1 : \dots : X_P), \\ X_p &= \left( s_1^{(p)} + \varepsilon_1^{(p)}, \dots, s_N^{(p)} + \varepsilon_N^{(p)} \right), \\ s_n^{(p)} &= a_p \cos(2\pi n \omega_p + \psi_p), \end{aligned}$$

где  $n \in \overline{1:71}$ ,  $p \in \overline{1:5}$ ,  $\varepsilon_n^{(p)}$  — белый гауссовский шум с дисперсией 25,  $s_n^{(p)}$  — элементы искомого сигнала.  
Оценка точности — RMSE по 500 реализациям шума.

Было проведено два набора численных сравнений.

Первый набор численных сравнений исследовал зависимость точности выделения сигнала в многомерных сигналах тензорных модификаций и известных методов семейства SSA. Рассматриваемый сигнал имеет вид экспоненциально-модулированной гармоника, шум — белый гауссовский со стандартным отклонением 5. Оценка точности производилась по RMSE по 500 реализациям шума. Все методы сравнивались на одних и тех же реализациях шума.

Было рассмотрено несколько вариантов значения  $P$ , приведём наиболее показательный случай, когда  $P=5$ .

# Численные сравнения: ранги сигналов

Параметры	(HOOI) SSA	(HOSVD) MSSA	$r_3$	2D-SSA
$a_p = 30$ $\omega_p = 1/12, \psi_p = 0$	2	2	1	2
$a_1 = a_4 = 30$ $a_2 = a_5 = 20, a_3 = 25$ $\omega_p = 1/12, \psi_p = 0$	2	2	1	6
$a_p = 30, \omega_p = 1/12$ $\psi_p = 2(p-1)\pi/3$	2	2	2	2
$a_p = 30, \psi_p = 2(p-1)\pi/3$ $\omega_1 = \omega_2 = \omega_3 = 1/12$ $\omega_4 = \omega_5 = 1/8$	2	4	4	10

## Tensor SSA

### └ Численные сравнения

### └ Численные сравнения: ранги сигналов

Численные сравнения: ранги сигналов

Параметры	(HOOI) SSA	(HOSVD) MSSA	$r_3$	2D-SSA
$a_p = 30$ $\omega_p = 1/12, \psi_p = 0$	2	2	1	2
$a_1 = a_4 = 30$ $a_2 = a_5 = 20, a_3 = 25$ $\omega_p = 1/12, \psi_p = 0$	2	2	1	6
$a_p = 30, \omega_p = 1/12$ $\psi_p = 2(p-1)\pi/3$	2	2	2	2
$a_p = 30, \psi_p = 2(p-1)\pi/3$ $\omega_1 = \omega_2 = \omega_3 = 1/12$ $\omega_4 = \omega_5 = 1/8$	2	4	4	10

Для начала рассмотрим ранги сигналов для каждого метода при различных наборах параметров. Меньше всего ранги во всех методах в случае, когда сигналы не отличаются между собой. Когда сигналы отличаются только на амплитуду вырастает только 2D-SSA ранг. Когда амплитуды и частоты сигналов равны, а частоты меняются линейно по  $p$  возрастает ранг третьего измерения в HOSVD MSSA. И наконец, когда амплитуды равны, фаза меняется линейно, а частоты разные, сильно возрастают ранги как HOSVD MSSA, так и 2D-SSA.

## Численные сравнения: RMSE оценок сигналов

Параметры	SSA	HOOI-SSA	MSSA	HOSVD-MSSA	2D-SSA
$a_p = 30$ $\omega_p = 1/12, \psi_p = 0$	1.34	1.41	0.95	0.75	<b>0.73</b>
$a_1 = a_4 = 30$ $a_2 = a_5 = 20, a_3 = 25$ $\omega_p = 1/12, \psi_p = 0$	1.38	1.41	1.07	<b>0.86</b>	1.45
$a_p = 30, \omega_p = 1/12$ $\psi_p = 2(p-1)\pi/3$	1.38	1.41	1.07	1.05	<b>0.84</b>
$a_p = 30, \psi_p = 2(p-1)\pi/3$ $\omega_1 = \omega_2 = \omega_3 = 1/12$ $\omega_4 = \omega_5 = 1/8$	<b>1.38</b>	1.41	1.50	1.49	1.78

## Tensor SSA

## └ Численные сравнения

## └ Численные сравнения: RMSE оценок сигналов

Численные сравнения: RMSE оценок сигналов

Параметры	SSA	HOOI-SSA	MSSA	HOSVD-MSSA	2D-SSA
$a_p = 30$ $\omega_p = 1/12, \psi_p = 0$	1.34	1.41	0.95	0.75	<b>0.73</b>
$a_1 = a_4 = 30$ $a_2 = a_5 = 20, a_3 = 25$ $\omega_p = 1/12, \psi_p = 0$	1.38	1.41	1.07	<b>0.86</b>	1.45
$a_p = 30, \omega_p = 1/12$ $\psi_p = 2(p-1)\pi/3$	1.38	1.41	1.07	1.05	<b>0.84</b>
$a_p = 30, \psi_p = 2(p-1)\pi/3$ $\omega_1 = \omega_2 = \omega_3 = 1/12$ $\omega_4 = \omega_5 = 1/8$	<b>1.38</b>	1.41	1.50	1.49	1.78

Теперь рассмотрим точность выделения сигнала каждым методом. Различия между всеми значениями в каждой строке значимы с уровнем значимости 0.05. Видно, что метод HOSVD MSSA работает лучше остальных методов в случае, когда сигналы отличаются только амплитудой, причём он всегда даёт более точные результаты, чем стандартный MSSA. В случае же когда сигналы отличаются и по фазе, и по частоте, самым точным оказывается применение SSA по отдельности к каждому ряду. HO-SSA во всех сравнениях проигрывает стандартному SSA.

## Численные сравнения: разделимость многомерных рядов

$$x_n^{(p)} = \hat{s}_n^{(p)} + \tilde{s}_n^{(p)} + \varepsilon_n^{(p)}$$

$$n \in \overline{1:44}, p \in \overline{1:12}$$

Рассматриваемые варианты рядов:

- ❶  $\hat{s}_n^{(p)} = 2 \cos(2\pi n/5), \quad \tilde{s}_n^{(p)} = \cos(2\pi n/3)$
- ❷  $\hat{s}_n^{(p)} = 2c_1^{(p)} \cos(2\pi n/5), \quad \tilde{s}_n^{(p)} = c_2^{(p)} \cos(2\pi n/3)$
- ❸  $\hat{s}_n^{(p)} = 2c_1^{(p)} \cos(2\pi n/5 + p\pi/6),$   
 $\tilde{s}_n^{(p)} = c_2^{(p)} \cos(2\pi n/3 + p\pi/9)$
- ❹  $\hat{s}_n^{(p)} = 2c_1^{(p)} \cos(2\pi n/5 + \varphi_1^{(p)}),$   
 $\tilde{s}_n^{(p)} = c_2^{(p)} \cos(2\pi n/3 + \varphi_2^{(p)})$

## Tensor SSA

└ Численные сравнения

└ Численные сравнения: разделимость  
многомерных рядов

Численные сравнения: разделимость многомерных рядов

$$x_n^{(p)} = \hat{s}_n^{(p)} + \tilde{s}_n^{(p)} + \varepsilon_n^{(p)}$$

$$n \in \overline{1:44}, p \in \overline{1:12}$$

Рассматриваемые варианты рядов:

- ❶  $\hat{s}_n^{(p)} = 2 \cos(2\pi n/5), \quad \tilde{s}_n^{(p)} = \cos(2\pi n/3)$
- ❷  $\hat{s}_n^{(p)} = 2c_1^{(p)} \cos(2\pi n/5), \quad \tilde{s}_n^{(p)} = c_2^{(p)} \cos(2\pi n/3)$
- ❸  $\hat{s}_n^{(p)} = 2c_1^{(p)} \cos(2\pi n/5 + p\pi/6),$   
 $\tilde{s}_n^{(p)} = c_2^{(p)} \cos(2\pi n/3 + p\pi/9)$
- ❹  $\hat{s}_n^{(p)} = 2c_1^{(p)} \cos(2\pi n/5 + \varphi_1^{(p)}),$   
 $\tilde{s}_n^{(p)} = c_2^{(p)} \cos(2\pi n/3 + \varphi_2^{(p)})$

Второй набор численных сравнений исследовал точность отделения компонент в многомерных рядах методом HO-MSSA. Все ряды имели вид суммы двух сигналов  $\hat{s}_n^{(p)}$  и  $\tilde{s}_n^{(p)}$  и белого гауссовского шума со стандартным отклонением 0.1.

Были рассмотрены следующие варианты пар сигналов:

1. Оба сигнала полностью совпадали во всех каналах
2. Сигналы отличались по каналам только амплитудой (далее все сигналы будут отличаться амплитудой по каналам, кроме случая 6)
3. Линейно меняющаяся с номером канала фаза
4. У сигналов фазы отличаются во всех каналах случайным образом

## Численные сравнения: разделимость многомерных рядов

$$\textcircled{5} \quad \hat{s}_n^{(p)} = 3c_1^{(p)}, \quad \tilde{s}_n^{(p)} = c_2^{(p)} \cos(2\pi n/3)$$

$$\textcircled{6} \quad \begin{aligned} \hat{s}_n^{(p)} &= 2 \cos(2\pi n/5), \\ \tilde{s}_n^{(p)} &= \begin{cases} \cos(2\pi n/3), & 1 \leq p \leq 10, \\ 0.4 \cos(2\pi n/6), & 11 \leq p \leq 12 \end{cases} \\ n &\in \overline{1:59} \end{aligned}$$

$$\textcircled{7} \quad \begin{aligned} \hat{s}_n^{(p)} &= 2 \cos(2\pi n/5) \cos(2\pi p/3), \\ \tilde{s}_n^{(p)} &= 0.5 \cos(2\pi n/3) \cos(2\pi p/6) \end{aligned}$$

$\varepsilon_n^{(p)}$  — белый гауссовский шум со стандартным отклонением 0.1  
Оценка точности — RMSE по 1000 реализациям шума.

## Tensor SSA

## └ Численные сравнения

└ Численные сравнения: разделимость  
многомерных рядов

## Численные сравнения: разделимость многомерных рядов

$$\begin{aligned} \textcircled{5} \quad \hat{s}_n^{(p)} &= 3c_1^{(p)}, \quad \tilde{s}_n^{(p)} = c_2^{(p)} \cos(2\pi n/3) \\ \textcircled{6} \quad \hat{s}_n^{(p)} &= 2 \cos(2\pi n/5), \\ \tilde{s}_n^{(p)} &= \begin{cases} \cos(2\pi n/3), & 1 \leq p \leq 10, \\ 0.4 \cos(2\pi n/6), & 11 \leq p \leq 12 \end{cases} \\ n &\in \overline{1:59} \\ \textcircled{7} \quad \hat{s}_n^{(p)} &= 2 \cos(2\pi n/5) \cos(2\pi p/3), \\ \tilde{s}_n^{(p)} &= 0.5 \cos(2\pi n/3) \cos(2\pi p/6) \end{aligned}$$

$\varepsilon_n^{(p)}$  — белый гауссовский шум со стандартным отклонением 0.1  
Оценка точности — RMSE по 1000 реализациям шума.

5. Один сигнал — это константа
6. Первый сигнал имел один период по всем каналам, а период второго сигнала в последних двух каналах отличается от периода в остальных каналах
7. Амплитуды сигналов менялись по каналам с периодичностью 6

Использовался белый гауссовский шум со стандартным отклонением 0.1, Оценка точности производилась с помощью RMSE по 1000 реализаций шума. Все методы сравнивались на одних и тех же реализациях шума при оптимальных параметрах для каждого метода.

## Численные сравнения: RMSE оценок компонент сигнала

Вид сигнала	MSSA	HOSVD-MSSA	2D-SSA
1	0.026	0.019	<b>0.014</b>
	0.025	0.016	<b>0.014</b>
2	0.029	<b>0.019</b>	0.086
	0.029	<b>0.019</b>	0.083
3	<b>0.026</b>	<b>0.025</b>	0.117
	<b>0.025</b>	<b>0.025</b>	0.114
4	<b>0.026</b>	<b>0.025</b>	0.034
	<b>0.025</b>	<b>0.025</b>	0.033
5	<b>0.017</b>	<b>0.017</b>	0.023
	0.025	<b>0.019</b>	0.033
6	0.024	0.018	<b>0.012</b>
	0.024	<b>0.018</b>	0.031
	0.024	<b>0.014</b>	0.026
7	0.031	<b>0.023</b>	0.025
	0.030	<b>0.022</b>	0.024

## Tensor SSA

## └ Численные сравнения

## └ Численные сравнения: RMSE оценок компонент сигнала

Численные сравнения: RMSE оценок компонент сигнала

Вид сигнала	MSSA	HOSVD-MSSA	2D-SSA
1	0.026	0.019	<b>0.014</b>
	0.025	0.016	<b>0.014</b>
2	0.029	<b>0.019</b>	0.086
	0.029	<b>0.019</b>	0.083
3	<b>0.026</b>	<b>0.025</b>	0.117
	<b>0.025</b>	<b>0.025</b>	0.114
4	<b>0.026</b>	<b>0.025</b>	0.034
	<b>0.025</b>	<b>0.025</b>	0.033
5	<b>0.017</b>	<b>0.017</b>	0.023
	0.025	<b>0.019</b>	0.033
6	0.024	0.018	<b>0.012</b>
	0.024	<b>0.018</b>	0.031
	0.024	<b>0.014</b>	0.026
7	0.031	<b>0.023</b>	0.025
	0.030	<b>0.022</b>	0.024

На слайде приведены значения RMSE оценки компонент сигналов для каждого случая для методов MSSA, HO-MSSA и 2D-SSA. Результаты сравнения точности разделимости аналогичны результатам предыдущих сравнений: HO-MSSA разделяет компоненты не менее точно, чем остальные методы во всех случаях, кроме случаев равных амплитуд и различных частот, где метод 2D-SSA разделяет одну компоненту точнее.

## Выводы

- HO-SSA и HOSVD-MSSA являются прямыми обобщениями SSA и MSSA, однако устроены существенно сложнее и имеют бóльшую трудоёмкость
- Обе модификации усложняют алгоритм необходимостью подбора дополнительного параметра
- В рассмотренных примерах HOSVD-SSA выделил сигнал и разделил компоненты менее точно, чем SSA
- В рассмотренных примерах HOSVD-MSSA выделил сигнал и разделил компоненты точнее, чем MSSA

## Tensor SSA

## └─Заключение

## └─Выводы

## Выводы

- HO-SSA и HOSVD-MSSA являются прямыми обобщениями SSA и MSSA, однако устроены существенно сложнее и имеют бóльшую трудоёмкость
- Обе модификации усложняют алгоритм необходимостью подбора дополнительного параметра
- В рассмотренных примерах HOSVD-SSA выделил сигнал и разделил компоненты менее точно, чем SSA
- В рассмотренных примерах HOSVD-MSSA выделил сигнал и разделил компоненты точнее, чем MSSA

Можно подвести следующие итоги:

- HO-SSA и HOSVD-MSSA являются прямыми обобщениями SSA и MSSA, однако устроены существенно сложнее и имеют бóльшую трудоёмкость
- Обе модификации усложняют алгоритм необходимостью подбора дополнительного параметра
- В рассмотренных примерах HOSVD-SSA выделил сигнал и разделил компоненты менее точно, чем SSA
- В рассмотренных примерах HOSVD-MSSA выделил сигнал и разделил компоненты точнее, чем MSSA



# Остаётся для исследования

- Возможность применения других тензорных разложений
- Нахождение семейства сигналов, для которых HOSVD-MSSA работает существенно точнее, чем MSSA и 2D-SSA
- Формулировка понятия сильной разделимости для тензорных алгоритмов по аналогии с теорией SSA

## Tensor SSA

### └─Закключение

### └─Остаётся для исследования





#### Остаётся для исследования

- Возможность применения других тензорных разложений
- Нахождение семейства сигналов, для которых HOSVD-MSSA работает существенно точнее, чем MSSA и 2D-SSA
- Формулировка понятия сильной разделимости для тензорных алгоритмов по аналогии с теорией SSA

В дальнейших планах:

- Возможность применения других тензорных разложений
- Нахождение семейства сигналов, для которых HOSVD-MSSA работает существенно точнее, чем MSSA и 2D-SSA
- Формулировка понятия сильной разделимости для тензорных алгоритмов по аналогии с теорией SSA

## Список литературы

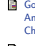



-  Golyandina Nina, Nekrutkin Vladimir, Zhigljavsky Anatoly. Analysis of time series structure: SSA and related techniques. — Chapman & Hall/CRC, 2001.
-  Papy J. M., De Lathauwer L., Van Hu el S. Exponential data tting using multilinear algebra: the single-channel and multi-channel case // Numerical Linear Algebra with Applications. — 2005. — P. 809–826.
-  De Lathauwer Lieven. Blind Separation of Exponential Polynomials and the Decomposition of a Tensor in Rank- $(L_r, L_r, 1)$  Terms // SIAM Journal on Matrix Analysis and Applications. — 2011. — P. 1451–1474.
-  De Lathauwer Lieven, De Moor Bart, Vandewalle Joos. A Multilinear Singular Value Decomposition // SIAM Journal on Matrix Analysis and Applications. — 2000. — P. 1253–1278.

## Tensor SSA

└ Список литературы

└ Список литературы

## Список литературы

-  Golyandina Nina, Nekrutkin Vladimir, Zhigljavsky Anatoly. Analysis of time series structure: SSA and related techniques. — Chapman & Hall/CRC, 2001.
-  Papy J. M., De Lathauwer L., Van Hu el S. Exponential data tting using multilinear algebra: the single-channel and multi-channel case // Numerical Linear Algebra with Applications. — 2005. — P. 809–826.
-  De Lathauwer Lieven. Blind Separation of Exponential Polynomials and the Decomposition of a Tensor in Rank- $(L_r, L_r, 1)$  Terms // SIAM Journal on Matrix Analysis and Applications. — 2011. — P. 1451–1474.
-  De Lathauwer Lieven, De Moor Bart, Vandewalle Joos. A Multilinear Singular Value Decomposition // SIAM Journal on Matrix Analysis and Applications. — 2000. — P. 1253–1278.

На данном слайде представлен список основных источников, используемых в моей работе.